

# Sur le mouvement d'un hand-spinner simulé

Le Fay Yvann

Juin 2017

**Préambule** Si certains prennent du plaisir à utiliser un spinner normalement, d'autres préfèrent s'attacher à trouver des mathématiques partout où ils le peuvent.

Dans ce court papier, on va donc tenter de caractériser les possibles équations du mouvement du hand-spinner de l'application fidget-spinner.

A partir de données expérimentales, il est possible de faire certaines suppositions sur les expressions des différentes équations. Ci-dessous, un ensemble de vitesses relevées ( $\omega_t$ ) normalisées par la vitesse initiale ( $\omega_0$ ), d'un point à l'extrémité du hand spinner.

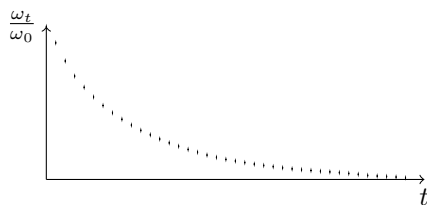


Figure 1:  $\omega_t$  expérimentale normalisée par  $\omega_0$

Ainsi, par observation, il semblerait que :

$$\begin{aligned}\omega(t) &= r e^{-\psi t} \\ \omega(0) &= \omega_0 \iff r = \omega_0 \\ \omega(t) &= \omega_0 e^{-\psi t}.\end{aligned}$$

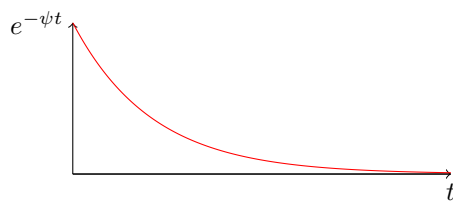


Figure 2:  $\omega(t)$  normalisée par  $\omega_0$ ,  $\psi = 0.119034$

Précisons que  $\psi > 0$  et  $\omega_0 \neq 0$ . Par intégration et dérivation, le système suit :

$$\begin{cases} \ddot{\theta}(t, \psi) = \frac{\partial v}{\partial t} = -\psi \omega_0 e^{-\psi t} \\ \omega(t, \psi) = \omega_0 e^{-\psi t} \\ \theta(t, \psi) = \int \omega(t, \psi) dt = -\frac{\omega_0}{\psi} e^{-\psi t} + C_\theta. \end{cases}$$

On souhaite  $\theta(t, \psi)$  telle que :

$$\begin{aligned} \theta(t_\Omega, \psi) = \theta_{t_\Omega} &\iff C_\theta = \theta_{t_\Omega} + \frac{e^{-\psi t_\Omega} \omega_0}{\psi} \\ &\approx \theta_{t_\Omega}. \end{aligned}$$

De ce fait,  $C_\theta$  dépend principalement de la valeur expérimentale de position de fin du hand-spinner  $\theta_{t_\Omega}$  mais aussi de  $\psi$  ( $\frac{1}{\psi} = \tau$ , est appelée constante de temps ou temps de relaxation du système, à remarquer que le même modèle mathématique se retrouve dans beaucoup de phénomènes physiques tels que la cinétique chimique ou encore la modélisation de circuits électriques du premier ordre). Dans la suite du document, on s'attardera sur les différentes manières de calculer  $\psi$ .

Une première manière de calculer une approximation de  $\psi$  est de considérer que  $C_\theta = \theta_{t_\Omega}$  ainsi qu'une égalité entre une position expérimentale à un instant  $t_j$ ,  $\theta_{t_j}$  et une position théorique à ce même instant  $\theta(t_j, \psi_{(1)})$ . Posons donc la proposition suivante :

$$(C_\theta = \theta_{t_j} \wedge \theta(t_j, \psi_{(1)}) = \theta_{t_j}). \quad (1)$$

On note  $\psi_{(1)}$ , le coefficient  $\psi$  tel que (1) soit vraie.

$$\begin{aligned} \psi_{(1)} | (1) &\iff \frac{1}{\omega_0} (\theta_{t_j} - \theta_{t_\Omega}) = -\frac{1}{\psi_{(1)}} e^{-\psi_{(1)} t_j} \\ &\iff \begin{cases} \psi_{(1),0} = \frac{\omega_0}{\theta_{t_\Omega}}, & t_j = 0 \\ \psi_{(1),t_j} = \frac{1}{t_j} \Re \left( W \left( \frac{t_j \omega_0}{\theta_{t_\Omega} - \theta_{t_j}} \right) \right), & t_j \neq 0. \end{cases} \end{aligned}$$

Cette fois-ci, en supposant une égalité entre la position expérimentale à l'instant  $t_j \neq 0$  et l'intégrale de la vitesse sur  $[0; t_j]$ , on a  $\psi_{(2)}$  :

$$\psi_{(2)} \Big| \int_0^{t_j} \omega(t, \psi_{(2)}) dt = \theta_{t_j}. \quad (2)$$

$$\begin{aligned} \int_0^{t_j} \omega(t, \psi_{(2)}) dt &= \theta_{t_j} \\ &= \theta(t_j, \psi_{(2)}) - \theta(0, \psi_{(2)}) \\ &= -\frac{\omega_0}{\psi_{(2)}} (e^{-\psi_{(2)} t_j} - 1) \end{aligned}$$

$$\begin{aligned} \psi_{(2),t_j} &= \frac{1}{t_j \theta_{t_j}} \left( t_j \omega_0 + \theta_{t_j} \Re \left( W \left( \frac{-t_j \omega_0 e^{-\frac{t_j \omega_0}{\theta_{t_j}}}}{\theta_{t_j}} \right) \right) \right) \\ \implies \theta(0, \psi_{(2),t_\Omega}) &= \frac{-\omega_0}{\psi_{(2),t_\Omega}} + \theta_{t_\Omega} + e^{-\psi_{(2),t_\Omega} t_\Omega} \frac{\omega_0}{\psi_{(2),t_\Omega}} = 0 \\ &\approx e^{-\psi_{(2),t_\Omega} t_\Omega} \frac{\omega_0}{\psi_{(2),t_\Omega}}, \text{ car } \psi_{(1),0} \approx \psi_{(2),t_\Omega}. \end{aligned}$$

En supposant l'égalité entre une vitesse théorique à l'instant  $t_j$ ,  $\omega(t_j, \psi_{(3)})$  et une vitesse expérimentale à cet instant  $\omega_{t_j}$  :

$$\omega_{t_j} = \omega(t_j, \psi_{(3)}) \iff \psi_{(3), t_j} = \frac{1}{t_j} \ln \left( \frac{\omega_0}{\omega_{t_j}} \right). \quad (3)$$

La précision de la vitesse affichée par l'application (1 tour par minute) est la valeur minimale avant qu'on considère le mouvement comme arrêté, on a :

$$\begin{aligned} \omega(t \leq t_\Omega, \psi) &\geq \frac{\pi}{30} \\ \iff \psi &\in \left] 0; \frac{1}{t_\Omega} \ln \left( \frac{30\omega_0}{\pi} \right) \right]. \end{aligned}$$

A remarquer que cette relation permet d'exprimer une valeur minimale de  $t_\Omega$  sans usage de variable de temps, en utilisant  $\psi_{(1),0}$ ,  $t_\Omega \geq \frac{\ln(\frac{30\omega_0}{\pi})}{\psi_{(1),0}}$ .

D'autres valeurs de  $\psi$  peuvent être obtenues en considérant  $\theta_{t_j} = -\frac{\omega_0}{\psi^*} e^{-\psi^* t_j} + \theta_{t_\Omega} + \frac{e^{-\psi^{**} t_\Omega} \omega_0}{\psi^{**}}$ . Injectant dans  $\psi^{**}$  ou  $\psi^*$  une valeur proche de  $\psi$ , pouvant avoir été obtenue par les équations jusque-là présentées.

De cette manière, on obtient par exemple :

$$\begin{aligned} \psi_{(1),0}^* &= \frac{\omega_0 \psi_{(1),0}}{\omega_0 e^{-\psi_{(1),0} t_\Omega} + \theta_{t_\Omega} \psi_{(1),0}} \\ \psi_{(1),t_j}^* &= \frac{1}{t_j} \Re \left( W \left( \frac{\omega_0 t_j \psi_{(1),t_j}}{\omega_0 e^{-\psi_{(1),t_j} t_\Omega} - (\theta_{t_j} - \theta_{t_\Omega}) \psi_{(1),t_j}} \right) \right) \\ \psi_{(1),\{t_j,0\}}^* &= \frac{\omega_0 \psi_{(1),t_j}}{\omega_0 e^{-\psi_{(1),t_j} t_\Omega} + \theta_{t_\Omega} \psi_{(1),t_j}} \\ \psi_{(1),\{0,t_j\}}^* &= \frac{1}{t_j} \Re \left( W \left( \frac{\omega_0 t_j \psi_{(1),0}}{\omega_0 e^{-\psi_{(1),0} t_\Omega} - \psi_{(1),0} (\theta_{t_j} - \theta_{t_\Omega})} \right) \right). \end{aligned}$$

On peut aussi formuler ce problème sous forme de problème d'optimisation, dont l'énoncé général est :

$$\begin{aligned}\psi_{\mathcal{D},\mathcal{F},\mathcal{T}_D} &= \arg \min_{\psi \in [\psi_s; \psi_s + \epsilon]} \left| \sum_{\substack{f_i = \mathcal{P}_{1,i}\ddot{\theta} + \mathcal{P}_{2,i}\omega + \mathcal{P}_{3,i}\theta \\ t_i \in \mathcal{T}_D \subseteq [0; t_\Omega]}} f_i(t_i, \psi) - f_{i,t_i} \right| \\ &= \arg_{\psi} \left( \frac{\partial}{\partial \psi} \left| \sum_{\substack{f_i \\ t_i \in \mathcal{T}_D}} f_i(t_i, \psi) - f_{i,t_i} \right| = 0 \right)\end{aligned}\quad (4)$$

Dans la pratique, les formes finies les plus simples fournissent une précision plus importante que les formes les plus complexes. Se poser le problème sous forme de problème d'optimisation, plus que pour le raisonnement mathématique, peut être utile pour obtenir des situations bien particulières, notamment lorsqu'on souhaite que la différence moyenne entre la théorie en certains instants choisis et la pratique en ces instants soit la plus petite possible.

En application, si on souhaite un accord entre les positions de départ et de fin, on a :

$$\begin{aligned}\psi_{\mathcal{D},\{\theta(0,\psi);\theta(t_\Omega,\psi)\},\{0;t_\Omega\},1} &\left| \left| -\frac{\omega_0}{\psi} \left( 1 + e^{-\psi t_\Omega} \right) + \theta_{t_\Omega} \right| = 0 \right. \\ \implies \psi_{\mathcal{D},\{\theta(0,\psi);\theta(t_\Omega,\psi)\},\{0;t_\Omega\},2} &= \frac{1}{t_\Omega \theta_{t_\Omega}} \left( t_\Omega \omega_0 + \theta_{t_\Omega} \Re \left( W \left( \frac{t_\Omega \omega_0 e^{-\frac{t_\Omega \omega_0}{\theta_{t_\Omega}}}}{\theta_{t_\Omega}} \right) \right) \right).\end{aligned}$$

La première solution de (4),  $\psi_{\mathcal{D},\mathcal{F},\mathcal{T}_D,1} \left| \sum_{t_i \in \mathcal{T}_D} f_i f_{i,t_i} - f_i(t_i, \psi) = 0 \right|$ , est une valeur qui permet un compromis moyen entre l'observation, sommant une constante et la théorie : sommant une constante et des exponentielles en fonction de  $\psi$ .

En supposant une cohérence totale entre les valeurs théoriques et les valeurs expérimentales obtenues, on devrait obtenir  $\forall t_i, \theta(t_i, \psi) = \theta_{t_i}, \omega(t_i, \psi) = \omega_{t_i}, \ddot{\theta}(t_i, \psi) = \ddot{\theta}_{t_i}$ .

La seconde solution,  $\psi_{\mathcal{D},\mathcal{F},\mathcal{T}_D,2} \left| \frac{\partial}{\partial \psi} \sum_{t_i \in \mathcal{T}_D} f_i f_i(t_i, \psi) = 0 \right|$ , ne dépend d'aucune valeur pratique si ce n'est l'ensemble  $\mathcal{T}_D$  qui est censé fournir une information sur la durée du mouvement (en théorie infini, on approche les solutions que numériquement).

A la suite, le notebook Mathematica.

## Fidget Hand Spinner

Equations du mouvement

Par Yvann Le Fay, 19/07

### Conditions Initiales et finales

Vitesse initiale du hand spinner  $v_0$  [rad/s] :

In[2]:=  $v_0 = 150/3 \pi$ ;

Durée totale du mouvement  $t_\Omega$  [s] :

In[3]:=  $t_\Omega = g = 39$ ;

Position finale  $x_\Omega$  [rad] :

In[4]:=  $x_\Omega = 416 \pi$ ;

Instant  $t_j$  [s] XX :

In[5]:=  $t_j = 16$ ;

Position à l'instant  $t_j$ ,  $x_j$  [rad] XX :

In[6]:=  $x_j = 348 \pi$ ;

Vitesse à l'instant  $t_j$  du hand spinner  $v_j$  [rad/s] XX :

In[7]:=  $v_j = 238/30 \pi$ ;

### Calcul des paramètres intermédiaires

Calcul de  $b_0^*$

In[8]:=  $b_{0,e} = N\left[\frac{v_0}{x_\Omega}\right]$

Out[8]= 0.120192

Calcul de  $b_j^*$

In[9]:=  $b_{j,e} = N\left[\frac{\operatorname{Re}\left(W\left(\frac{v_0 t_j}{-x_j + x_\Omega}\right)\right)}{t_j}\right]$

Out[9]= 0.115622

Calcul de  $b_{(\pi/30)}^*$

In[10]:=  $b_{\frac{\pi}{30},e} = N\left[\frac{\log\left(\frac{30 v_0}{\pi}\right)}{t_\Omega}\right]$

Out[10]= 0.187518

/

Calcul de b\_0\*\* XX

$$\text{In[11]:= } b_{0,e^2} = N\left[\frac{v_0 b_{0,e}}{v_0 e^{t_\Omega (-b_{0,e})} + x_\Omega b_{0,e}}\right]$$

Out[11]= 0.119095

Calcul de b\_j\*\* XX

$$\text{In[12]:= } b_{j,e^2} = N\left[\frac{\text{Re}\left(W\left(\frac{v_0 t_j b_{j,e}}{v_0 e^{t_\Omega (-b_{j,e})} - (x_j - x_\Omega) b_{j,e}}\right)\right)}{t_j}\right]$$

Out[12]= 0.112888

Calcul de b\_zj\*\* XX

$$\text{In[13]:= } b_{j,z,e^2} = N\left[\frac{\text{Re}\left(W\left(\frac{v_0 t_j b_{0,e}}{v_0 e^{t_\Omega (-b_{0,e})} - b_{0,e} (x_j - x_\Omega)}\right)\right)}{t_j}\right]$$

Out[13]= 0.113406

Calcul de b\_jz\*\* XX

$$\text{In[14]:= } b_{j,z,e^2} = N\left[\frac{v_0 b_{j,e}}{v_0 e^{t_\Omega (-b_{j,e})} + x_\Omega b_{j,e}}\right]$$

Out[14]= 0.118833

Calcul de b\_jv\*

$$\text{In[15]:= } b_{j,v} = N\left[-\frac{\log\left(\frac{v}{v_0}\right)}{t_j}\right]$$

Out[15]= 0.115059

Calcul de b\_t\_\Omega\*

$$\text{In[16]:= } b_\Omega = N\left[1/(t_\Omega x_\Omega) \left(t_\Omega v_0 + x_\Omega \text{Re}\left(W\left(\frac{-t_\Omega v_0 e^{-t_\Omega v_0/x_\Omega}}{x_\Omega}\right)\right)\right)\right]$$

Out[16]= 0.119034

$$\text{In[17]:= } b_{\text{opt}} = N\left[\frac{x_\Omega W\left(\frac{v_0 t_\Omega e^{-\frac{v_0 t_\Omega}{x_\Omega}}}{x_\Omega}\right) + v_0 t_\Omega}{t_\Omega x_\Omega}, 20\right]$$

Out[17]= 0.12125432921088111115

### Les équations du mouvement

Accélération [rad/s^2]

$$\text{In[18]:= } a(t_, c_) := -c v_0 e^{-c t};$$

/

/

Vitesse [rad/s] et [deg/s]

In[19]:=  $v(t\_ , c\_ ) := v_0 e^{-c t};$   
 $w(t\_ , c\_ ) := \left[ \left[ - \left[ \frac{v(t, c) 30}{\pi} \right] + \frac{30 v(t, c)}{\pi} + 0.5 \right] + \frac{30 v(t, c)}{\pi} \right];$

Position [rad] et [deg]

In[21]:=  $x(t\_ , c\_ ) := x_0 - \frac{v_0 (e^{-c t} - e^{-c g})}{c};$   
 $y(t\_ , c\_ ) := \left[ \left[ - \left[ \frac{x(t, c)}{2 \pi} \right] + \frac{x(t, c)}{2 \pi} + 0.5 \right] + \frac{x(t, c)}{2 \pi} \right];$

In[23]:= **FindMinimum**[Abs[-Subscript[x, j] + x[0, k] + x[Subscript[t, j], k] - v<sub>j</sub> + v[Subscript[t, j], k]], {k, b<sub>0,e</sub>}

FindMinimum: Working precision MachinePrecision is insufficient to achieve the requested accuracy or precision.

Out[23]= {0.000110289, {k → 0.117087}}

In[24]:= **FindMinimum**[Abs[x[0, b] + x[t<sub>0</sub>, b] - x<sub>0</sub>], {b, b<sub>0,e</sub>}

FindMinimum: The line search decreased the step size to within the tolerance specified by AccuracyGoal and PrecisionGoal but was unable to find a sufficient decrease in the function. You may need more than MachinePrecision digits of working precision to meet these tolerances.

Out[24]= {0.0000538015, {b → 0.119034}}

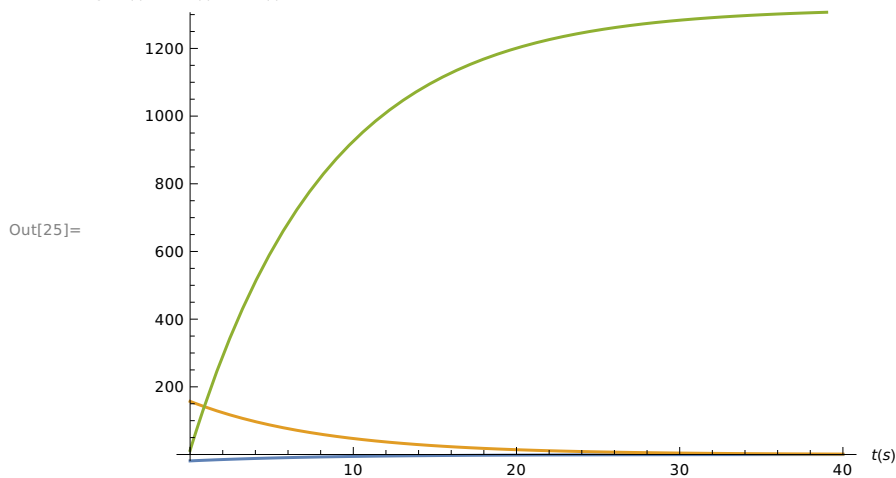
## Resultats

```

In[25]:= Show[Plot[{a[t, b0,e], v[t, b0,e], x[t, b0,e]}, {t, 0, Subscript[t, Ω] + 1},
  PlotRange -> {a[0, b0,e], x[Subscript[t, Ω], b0,e]}],
  AxesLabel -> {HoldForm[t[s]], RawBoxes[
    RowBox[{RowBox[{"g", ":", RowBox[{"x", RowBox[{"(", "t", ")"}]}]}], ",", " ",
    RowBox[{"o", " ", ":", " ", RowBox[{"v", RowBox[{"(", "t", ")"}]}]}], ",", " ",
    RowBox[{"b", " ", ":", " ", RowBox[{"a", RowBox[{"(", "t", ")"}]}], " "}]}}}],
  PlotLabel -> None,
  LabelStyle -> {8, GrayLevel[0]}, ImageSize -> {428, 265}, AspectRatio -> Full]

```

g : x(t), o : v(t), b : a(t)



```

In[26]:= Subscript[Σ, x] = 
$$\frac{\int_0^{t_\Omega} (x[t+1, b_{0,e}] - x[t, b_{0,e}]) dt}{(2 \pi) (t_\Omega + 1)}$$

  Subscript[Σ, v] = 
$$\frac{30 \int_0^{t_\Omega} (v[t, b_{0,e}] - v[t+1, b_{0,e}]) dt}{\pi (t_\Omega + 1)}$$


```

Out[26]= 4.85453

Out[27]= 35.0086



```
In[28]:= TraditionalForm[Table[{t, y[t, b0,e], w[t, b0,e]}, {t, 0, Subscript[t,  $\Omega$ ] + 1}]]
```

```
Out[28]//TraditionalForm=
```

0	2	1500
1	25	1330
2	46	1179
3	65	1046
4	81	927
5	96	822
6	109	729
7	120	647
8	130	573
9	139	509
10	147	451
11	154	400
12	161	355
13	166	314
14	171	279
15	176	247
16	180	219
17	183	194
18	186	172
19	189	153
20	191	136
21	193	120
22	195	107
23	197	95
24	198	84
25	200	74
26	201	66
27	202	58
28	203	52
29	204	46
30	204	41
31	205	36
32	205	32
33	206	28
34	206	25
35	207	22
36	207	20
37	207	18
38	208	16
39	208	14
40	208	12

```
In[29]:=  $\left( \int_0^{t_\Omega} v[t, b_\Omega] dt \right) == x_\Omega$ 
```

```
Out[29]= True
```

```
In[30]:=  $\left( \int_0^{\text{Infinity}} v[t, b_{0,e}] dt \right) == x_\Omega$ 
```

```
Out[30]= True
```

```
In[31]:= TraditionalForm[Table[{t, y[t, bΩ], w[t, bΩ]}, {t, 0, Subscript[t, Ω] + 1}]]
```

```
Out[31]//TraditionalForm=
```

0	0	1500
1	24	1332
2	44	1182
3	63	1050
4	80	932
5	94	827
6	107	734
7	119	652
8	129	579
9	138	514
10	146	456
11	153	405
12	160	360
13	165	319
14	170	283
15	175	252
16	179	223
17	182	198
18	185	176
19	188	156
20	191	139
21	193	123
22	195	109
23	196	97
24	198	86
25	199	77
26	201	68
27	202	60
28	203	54
29	203	48
30	204	42
31	205	37
32	205	33
33	206	30
34	206	26
35	207	23
36	207	21
37	207	18
38	208	16
39	208	14
40	208	13

```
In[32]:= 
$$-v_0 / b_\Omega + x_\Omega + \frac{v_0 (e^{-b_\Omega g})}{b_\Omega}$$

```

```
Out[32]=  $2.27374 \times 10^{-13}$ 
```